закономерным смещением всех полос в область более низких частот, что вызвано увеличением приведенной часта колеблющихся атомов.

Микротвердость $CaSmG_3O_7$ при нагрузке 50 г равна 500 кг/мм², что соответствует твердости апатита (5) по шкале Мооса. Его коэффициент термического расширения, определенный дилатометрическим методом с точностью $\pm 1.10^{-7}$ грао $^{-1}$, равен 80·10-7 град-1.

Двойной галлат кальция и самария плавится при 1600°С. По предварительным двойной галлат кальция и самария плавится при 1600°С. По предварительным двойной галлат кальция и самария плавится при 1600°С.

полиморфных форм.

ЛИТЕРАТУРА

1. A. Durif, F. Forrat. Bull. Soc. franc. mineral, et cristallogr, 81, 107 (1958).

2. А. А. Исматов. Ж. структ. химин, 9, 1099 (1968).
3. В. Е. Warren. Z. Kristallogr., 74, 131 (1930).
4. В. А. Колесова. Изв. АН СССР. Сер. хим., 30, 669 (1966).
5. Н. А. Торопов, А. А. Исматов, В. А. Колесова. Докл. АН СССР, 180, 1126 (1968).

Кафедра общей химии

Поступила в редакцию 23 сентября 1974 года

УДК 536.7+546.185+546.723

А. И. ВОЛКОВ, В. Н. ЯГЛОВ, Г. И. НОВИКОВ

ИССЛЕДОВАНИЕ ПРОЦЕССА ДЕГИДРАТАЦИИ FePO4.2H2O

(БЕЛОРУССКИЙ ТЕХНОЛОГИЧЕСКИЙ ИНСТИТУТ ИМ. С. М. КИРОВА)

Определены термодинамические характеристики процесса дегидратации моноклинной модификации трехзамещенного ортофосфата железа.

Фосфосидерит синтезирован по описанной методике [1] и идентифицирован хи-

мическим, рентгенографическим и микроскопическим исследованиями.

Процесс дегидратации FePO4.2H2O изучался статическим тензиметрическим методом с кварцевым мембранным нуль-манометром [2]. Время установления равновесного давления пара воды над солью в подобных системах, как правило, велико для данного типа реакций и составляло в наших условиях 60—80 часов (рис. 1).

Таблица Величины навесок FePO4.2H2O, объемов мембранных камер и число выделившихся молей воды в процессе дегидратации

№ кривой	m, 2	v, см ³	$m_{\text{H}_2\text{O}} a\partial c$,	$m-m_{a\partial c}$,	n _{H2O}
1	0,00373	16,67	0,00068	0,00305	2,02
2	0,00400	9,12	0,00040	0,00360	2,06
3	0,00490	6,92	0,00040	0,00450	1,91

Среднее: 2,00

Зависимость давления насыщенного пара воды над солью от температуры представлена на рис. 2. Приведенные кривые 1, 2 и 3, соответствующие увеличению соотношения m/v, можно условно разделить на следующие участки: 1—удаление адсорбционной воды до 50—50°С; 11—тепловое расширение пара адсорбционной воды; 111—дегидратация в одну стадию, 2,0 молей воды в интервале 160—200°С и IV—тепловое расширение нара выделившейся воды. Экспериментальные данные по эпре-

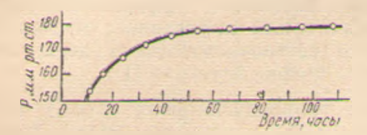


Рис. 1. Установление равновесного давления пара воды при дегидратации $FePO_4 \cdot 2i_{2}O$. (Температура $185^{\circ}C$, m/v = 0.44 мг/см², где m — навеска гидрата, v — объем мембранчой камеры).

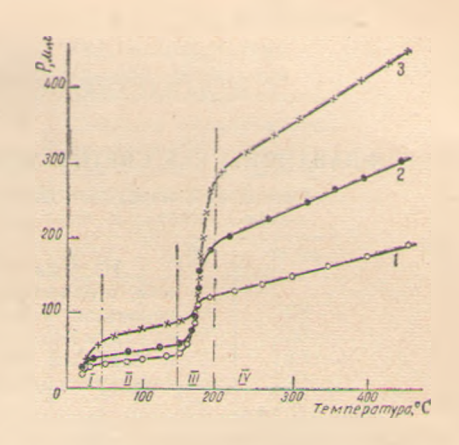


Рис. 2. Зависимость давления пара воды над дигидратом $FePO_4 \cdot 2H_2O$ от температуры (N_2 кривых соответствуют их номерам в таблице).

делению количества выделившейся воды в исследуемом гидрате представлены в таблице.

Выделению гидратной воды соответствует экспоненциальная зависимость давления нара от температуры и моновариантное состояние системы. Конденсированная часть системы, согласно правилу фаз Гиббса, состоит из двух отдельных фаз — гидрата и продукта дегидратации, и выражение для константы равновесия этой реакции имеет вид: $K_{\it D} = P_{\it H}^{\, 2}_{\it D}$.

На основании экспериментальных данных методом наименьших квадратов рассчитана усредненная логарифмическая зависимость давления пара от обратной температуры

$$\lg P = 9,65 - \frac{3393}{7}$$

чго позволило рассчитать изменения энтальпии и энтропии в реакции дегидратации а расчете на один газовый моль воды при температуре опыта.

$$\Delta H_T = 15,52 \pm 0,51 \ \kappa \kappa \alpha \Lambda / MO\Lambda, \ \Delta S_T = 30,96 \pm 0,79 \ \text{s. e.}$$

• ЛИТЕРАТУРА

1. А. Г. Котлова, Н. И. Щепочкина. Ж. неорган. химии, 16, 41 (1971). 2. Г. И. Новиков, А. В. Суворов. Заводек. лаборатория, 9, 750 (1959).

Кафедра общей и неорганической химии Поступила в редакцию 4 октября 1974 года